と Eco-Environmental Knowledge Web



ENVIRONMENTAL SCIENCE

ISSN 0250-3301 CODEN HCKHDV HUANJING KEXUE

- 主办 中国科学院生态环境研究中心
- ■出版科学出版社





2020

Vol.41 No.8 第41卷 第8期

ENVIRONMENTAL SCIENCE

第41卷 第8期 2020年8月15日

目 次

福来大语的与26气血污染应急减制精液及环化分析
。
中担区黄阳市一处重度污染期间 PM,中 12 种级量元素对征及来源种析
推薦集 田原、毛屬、刘威杰、石明明、生貌、胡云殿、郑后郎、杉士华、别金原(456) 中市冬季重污染二次有机化学污染特征及 VOCs 对 SOA 生成潜势 体力、多观、所数、大型、原产、生之作、热力深、除愈、刀龙、(3422) 川市某城区冬季不同污染水平大气 VOCs 特征及照解析 (42、房观、用效关、高溪黄、炀宁、李立作、热力深、除愈、邓介文(3422) (21 金) 2010 - 2018 中生物质燃烧中等将发性有机物(NoCs) 棒故声单 朱太忠、王允、贵家、民司他、李明、王传说(3507) (21 金) 2010 - 2018 中生物质燃烧中等将发性有机物(NoCs) 棒故声单 朱太忠、王允、贵家、民司他、李明、王传说(3517) (21 金) 2010 - 2018 中生物质燃烧中等将发性有机物(NoCs) 棒故声单 朱太忠、王允、贵家、民司他、李明、王传说(3517) (21 金) 2010 - 2018 中生物质燃烧中等将发性有机物(NoCs) 棒故声单 朱太忠、王允、帝帝、一回名、光动、近面相、中代众(3527) 安市点代良氧污染特征及聚聚性分析
指揮表域区冬季不同污染水平大气 VOCs 特征及跟解析 特正、房逝、肾逝、肾炎、高观繁、粉宁、辛之体、邓为茂、殊生、邓为文(1492)
州市東歐区冬季和同污染水平大气 VOC 等極 医胸解析 "年一升,尹沙沙、张朝帝、干生恋、 形貌、张信(360) 江下伯州 2010 - 2019 年生物质验验中等密发性有限的 (VOCS) 排放清单 朱木慧、王信、宠凌、 原司先、李君、王德(5311) 方常见绿化柯种 BVOCs 排放特征及其与光合作用参数的相关任 高平、庄立族、王克、陈寿萍,同烹、流动、危面雅、平允后(3527) 安市市场政策型地面臭氧变化特征与影相位于 高平、庄立族、王克、陈寿萍,同烹、流动、危面雅、平允后(3527) 安市市场政策型地面臭氧变化特征与影相位于 高平、庄立族、王克、陈寿萍,同烹、流动、危面雅、平允后(3527) 安市高校校园地表处土重金属污染非源期解析 -
11 二角類 2010 - 2018 年生物硬燃烧中等挥发性有视物(1VOCs) 接滤清单
州地区授予不同站点类型地面风气氧空化等征于验验的性子 空市公气臭氧污染等格征及敏感性分析
安市大Q氧等次學能及短感性分析
安市高於民間地表灰土重全國污染來屬較析 (馬排放高階灰气色颗粒物監測方法及燃气电厂实际测试 一下整大,等原、果美、异新卫、刘楚朝、春育(3565) 于交通流的成都市高分辨率机动车排放清单建立 清玉建、李髮、陈军鲜、石嘉诚、田红、张耒、周载、陈襄阳、吴柳原、月元、杨心怡(3572) 于交通流的成都市高分辨率机动车排放清单建立 清玉建、李髮、陈军鲜、石嘉诚、田红、张耒、周载、陈襄则、对政、钱聚(3581) 黄所新、应略券、夏加、马海林、杨堰军、杜晓夏(3591) 两水体分层对沉积物间除水煮蛋重向分布影响,以三峡水库和小湾水库为例 动静思、朱晓声、胡子龙、张思思、杨正健、纪遗疏、刘德富(3601) 市河道污染植物野落结构时空变化转症及影响因素分析 特定、陈本印、亲生、李嘉、聂云汉、叶建锋(3612) 每件通道污染植物群落结构时空变化转位及影响因素分析 特定、陈本印、光速、水水、泉、水工、胡双庆、白玉杰(3621) 氧化钙(CaO)、联合生物类对河道底泥的修复 "特定、除小平、沈模样、朱美、钱晚嘉、张心良、张卫、胡双庆、白玉杰(3621) 事在医院长便城坡沟垄果周氪、磷输出过程及流失负荷 "声水、王玉克、刘勤、徐麒、月泽军、3663) 健康值使地区城市小区降雨径流污染特征及负荷估算 在成等(5°8°8-NO ₅)。4°8-NO ₅) 和 IsaSource 模型的岩溶槽谷区地下水硝酸盐来源的定量示综 徐璐、蒋勇军、段世峰、何瑜亮(3637) 埃库区模度使侧坡沟垄果周氪、磷输出过程及流失负荷 广西、王王克、刘勤、徐麒、同洋是(3655) 是旋植化地区城市小区降雨径流污染特征及负荷估算 在成等特性对生物膜形成影响 从直转特性对生物膜形成影响 兼起熬、单弦媚。毒芽、张生质、黄、方相类、方治图(3684) 是旋植化地区域市场现积积的原有为 北京林、宁泉、东北层、新水层、3675) 北京林、野和、新北、东东、美州、清阳、高流、3787。 北京林、宇宙、海水、美洲、海、海、海、海、海、海、海、海、海、海、海、海、海、海、海、海、海、海、
安市高於民間地表灰土重全國污染來屬較析 (馬排放高階灰气色颗粒物監測方法及燃气电厂实际测试 一下整大,等原、果美、异新卫、刘楚朝、春育(3565) 于交通流的成都市高分辨率机动车排放清单建立 清玉建、李髮、陈军鲜、石嘉诚、田红、张耒、周载、陈襄阳、吴柳原、月元、杨心怡(3572) 于交通流的成都市高分辨率机动车排放清单建立 清玉建、李髮、陈军鲜、石嘉诚、田红、张耒、周载、陈襄则、对政、钱聚(3581) 黄所新、应略券、夏加、马海林、杨堰军、杜晓夏(3591) 两水体分层对沉积物间除水煮蛋重向分布影响,以三峡水库和小湾水库为例 动静思、朱晓声、胡子龙、张思思、杨正健、纪遗疏、刘德富(3601) 市河道污染植物野落结构时空变化转症及影响因素分析 特定、陈本印、亲生、李嘉、聂云汉、叶建锋(3612) 每件通道污染植物群落结构时空变化转位及影响因素分析 特定、陈本印、光速、水水、泉、水工、胡双庆、白玉杰(3621) 氧化钙(CaO)、联合生物类对河道底泥的修复 "特定、除小平、沈模样、朱美、钱晚嘉、张心良、张卫、胡双庆、白玉杰(3621) 事在医院长便城坡沟垄果周氪、磷输出过程及流失负荷 "声水、王玉克、刘勤、徐麒、月泽军、3663) 健康值使地区城市小区降雨径流污染特征及负荷估算 在成等(5°8°8-NO ₅)。4°8-NO ₅) 和 IsaSource 模型的岩溶槽谷区地下水硝酸盐来源的定量示综 徐璐、蒋勇军、段世峰、何瑜亮(3637) 埃库区模度使侧坡沟垄果周氪、磷输出过程及流失负荷 广西、王王克、刘勤、徐麒、同洋是(3655) 是旋植化地区城市小区降雨径流污染特征及负荷估算 在成等特性对生物膜形成影响 从直转特性对生物膜形成影响 兼起熬、单弦媚。毒芽、张生质、黄、方相类、方治图(3684) 是旋植化地区域市场现积积的原有为 北京林、宁泉、东北层、新水层、3675) 北京林、野和、新北、东东、美州、清阳、高流、3787。 北京林、宇宙、海水、美洲、海、海、海、海、海、海、海、海、海、海、海、海、海、海、海、海、海、海、
[] 市船舶控制区大气污染物排放清单与污染特征
[] 市船舶控制区大气污染物排放清单与污染特征
[] 市船舶控制区大气污染物排放清单与污染特征
于交通流的战都市高分辨率机动车排放清单建立
同水体分层对沉积物间即水氮素垂向分布影响,以三峡水库和小湾水库为例
同水体分层对沉积物间即水氮素垂向分布影响,以三峡水库和小湾水库为例
刘静愿,朱晓声,胡子龙,张思思,杨正健、纪道斌、刘德富(3601)梅河道表层水及沉积物中碳塑料的污染现状与污染行为
市河道寿层水及沉积物中做塑料的污染现状与污染行为
海河道浮游植物群落结构时空变化特征及影响因素分析
等志、陈小华、沈根祥、朱英、钱晓雍、张心良、张卫、胡双庆、白玉杰(3621) 氧化钙(CaO ₂)联合生物炭对河道底泥的修复 — 李雨平、姜堂堂、刘宝明,阮文权、缪恒锋(3629) 于双同位素(8 ¹⁵ N-NO ₅ -8 ¹⁸ O-NO ₅)和 IsoSource 模型的岩溶槽谷区地下水硝酸盐来源的定量示踪
于双同位素(8*N-NO ₃ -8*O-NO ₃ -)和 IsoSource 模型的岩溶槽谷区地下水硝酸盐来源的定量示踪
于双同位素(8*N-NO ₃ -8*O-NO ₃ -)和 IsoSource 模型的岩溶槽谷区地下水硝酸盐来源的定量示踪
徐璐、蒋勇军、段世辉、何瑞亮(3637)
度城镇化地区城市小区降雨径流污染特征及负荷估算 高斌,并有鹏,陆苗,林芷欣,徐兴(3657)
度城镇化地区城市小区降雨径流污染特征及负荷估算 高斌,并有鹏,陆苗,林芷欣,徐兴(3657)
化生物膜系统对低温的适应特性: MBBR 和 IFAS 李韧,于莉芳,张兴秀,戴子承,滑思思,彭党聪(3691) 质硫自养短程反硝化耦合厌氧氨氧化强化脱氮 方文烨,李祥,黄勇,郭超然,胡羽婷,陶仁杰(3699) 歇梯度曝气的生活污水好氧颗粒污泥脱氮除磷 张玉君,李冬,李帅,张杰(3707) 于不同废污泥源的短程反硝化快速启动及稳定性 张星星,王超超,王垚,徐乐中,吴聘(3715) 于 AHP-PROMETHEE II 法的鸟类石磷间收污泥预处理方案决策 刘吉宝,牛雨形,郁达伟,谭颖锋,左壮,魏源送(3731) 于厌氧膜生物反应器的剩余污泥-餐厨垃圾厌氧共消化性能 戴金金,牛承鑫,潘阳,陆雪琴,甄广印,郑朝婷,张瑞良,何欣昱(3740) 剂量抗生素诱导抗性基因水平迁移 袁其懿,CHEN Hong-jie,Laurence Haller,何义亮(3748) 刚素胁迫对 Shigella flexneri 细菌四环素抗性基因抗性表达的影响过程 高品,阮晓慧,邱文婕,薛罡,钱雅洁(3758) 股对氨氧化菌和亚硝酸盐氧化菌的竞争性选择 高品,阮晓慧,邱文婕,薛罡,钱雅洁(3758) 股对氨氧化菌和亚硝酸盐氧化过程中微生物菌群结构影响 侯晓薇,牛永健,李维维,王光杰,孙洪伟(3773) 生物种同相互作用产生锰氧化的普适性选择 海路,等波,李维维,甚光杰,孙洪伟(3773) 生物种同相互作用产生锰氧化的普适性及其潜在应用 宁雪,梁金松,柏耀挥,廖恺玲俐,刘贞辉(3781) 亚河红树林表层沉积物中好氧氨氧化微生物的分布特征及潜在硝化速率 罗晴,甄毓,彭宗波,贺惠(3781) 亚河红树林表层沉积物中好氧氨氧化微生物的分布特征及潜在硝化速率 罗晴,甄翰,彭宗波,贺惠(3787) 变碳输入对新疆天山雪岭云杉林土壤呼吸的短期影响 师章,方笑堃,罗小三,张丹,吴礼春,邱丹,陈志炜,赵辟(3797) 变碳输入对新疆天山雪岭云杉林土壤呼吸的短期影响 原生,方笑堃,罗小三,张丹,吴礼春,邱升,陈志炜,赵辟(3804) 机无机肥配施对不同程度盐渍土 N ₂ O 排放的影响
化生物膜系统对低温的适应特性: MBBR 和 IFAS 李韧,于莉芳,张兴秀,戴子承,滑思思,彭党聪(3691) 质硫自养短程反硝化耦合厌氧氨氧化强化脱氮 方文烨,李祥,黄勇,郭超然,胡羽婷,陶仁杰(3699) 歇梯度曝气的生活污水好氧颗粒污泥脱氮除磷 张玉君,李冬,李帅,张杰(3707) 于不同废污泥源的短程反硝化快速启动及稳定性 张星星,王超超,王垚,徐乐中,吴聘(3715) 于 AHP-PROMETHEE II 法的鸟类石磷间收污泥预处理方案决策 刘吉宝,牛雨形,郁达伟,谭颖锋,左壮,魏源送(3731) 于厌氧膜生物反应器的剩余污泥-餐厨垃圾厌氧共消化性能 戴金金,牛承鑫,潘阳,陆雪琴,甄广印,郑朝婷,张瑞良,何欣昱(3740) 剂量抗生素诱导抗性基因水平迁移 袁其懿,CHEN Hong-jie,Laurence Haller,何义亮(3748) 刚素胁迫对 Shigella flexneri 细菌四环素抗性基因抗性表达的影响过程 高品,阮晓慧,邱文婕,薛罡,钱雅洁(3758) 股对氨氧化菌和亚硝酸盐氧化菌的竞争性选择 高品,阮晓慧,邱文婕,薛罡,钱雅洁(3758) 股对氨氧化菌和亚硝酸盐氧化过程中微生物菌群结构影响 侯晓薇,牛永健,李维维,王光杰,孙洪伟(3773) 生物种同相互作用产生锰氧化的普适性选择 海路,等波,李维维,甚光杰,孙洪伟(3773) 生物种同相互作用产生锰氧化的普适性及其潜在应用 宁雪,梁金松,柏耀挥,廖恺玲俐,刘贞辉(3781) 亚河红树林表层沉积物中好氧氨氧化微生物的分布特征及潜在硝化速率 罗晴,甄毓,彭宗波,贺惠(3781) 亚河红树林表层沉积物中好氧氨氧化微生物的分布特征及潜在硝化速率 罗晴,甄翰,彭宗波,贺惠(3787) 变碳输入对新疆天山雪岭云杉林土壤呼吸的短期影响 师章,方笑堃,罗小三,张丹,吴礼春,邱丹,陈志炜,赵辟(3797) 变碳输入对新疆天山雪岭云杉林土壤呼吸的短期影响 原生,方笑堃,罗小三,张丹,吴礼春,邱升,陈志炜,赵辟(3804) 机无机肥配施对不同程度盐渍土 N ₂ O 排放的影响
化生物膜系统对低温的适应特性: MBBR 和 IFAS 李韧,于莉芳,张兴秀,戴子承,滑思思,彭党聪(3691) 质硫自养短程反硝化耦合厌氧氨氧化强化脱氮 方文烨,李祥,黄勇,郭超然,胡羽婷,陶仁杰(3699) 歇梯度曝气的生活污水好氧颗粒污泥脱氮除磷 张玉君,李冬,李帅,张杰(3707) 于不同废污泥源的短程反硝化快速启动及稳定性 张星星,王超超,王垚,徐乐中,吴聘(3715) 于 AHP-PROMETHEE II 法的鸟类石磷间收污泥预处理方案决策 刘吉宝,牛雨形,郁达伟,谭颖锋,左壮,魏源送(3731) 于厌氧膜生物反应器的剩余污泥-餐厨垃圾厌氧共消化性能 戴金金,牛承鑫,潘阳,陆雪琴,甄广印,郑朝婷,张瑞良,何欣昱(3740) 剂量抗生素诱导抗性基因水平迁移 袁其懿,CHEN Hong-jie,Laurence Haller,何义亮(3748) 刚素胁迫对 Shigella flexneri 细菌四环素抗性基因抗性表达的影响过程 高品,阮晓慧,邱文婕,薛罡,钱雅洁(3758) 股对氨氧化菌和亚硝酸盐氧化菌的竞争性选择 高品,阮晓慧,邱文婕,薛罡,钱雅洁(3758) 股对氨氧化菌和亚硝酸盐氧化过程中微生物菌群结构影响 侯晓薇,牛永健,李维维,王光杰,孙洪伟(3773) 生物种同相互作用产生锰氧化的普适性选择 海路,等波,李维维,甚光杰,孙洪伟(3773) 生物种同相互作用产生锰氧化的普适性及其潜在应用 宁雪,梁金松,柏耀挥,廖恺玲俐,刘贞辉(3781) 亚河红树林表层沉积物中好氧氨氧化微生物的分布特征及潜在硝化速率 罗晴,甄毓,彭宗波,贺惠(3781) 亚河红树林表层沉积物中好氧氨氧化微生物的分布特征及潜在硝化速率 罗晴,甄翰,彭宗波,贺惠(3787) 变碳输入对新疆天山雪岭云杉林土壤呼吸的短期影响 师章,方笑堃,罗小三,张丹,吴礼春,邱丹,陈志炜,赵辟(3797) 变碳输入对新疆天山雪岭云杉林土壤呼吸的短期影响 原生,方笑堃,罗小三,张丹,吴礼春,邱升,陈志炜,赵辟(3804) 机无机肥配施对不同程度盐渍土 N ₂ O 排放的影响
化生物膜系统对低温的适应特性: MBBR 和 IFAS 李韧,于莉芳,张兴秀,戴子承,滑思思,彭党聪(3691) 质硫自养短程反硝化耦合厌氧氨氧化强化脱氮 方文烨,李祥,黄勇,郭超然,胡羽婷,陶仁杰(3699) 歇梯度曝气的生活污水好氧颗粒污泥脱氮除磷 张玉君,李冬,李帅,张杰(3707) 于不同废污泥源的短程反硝化快速启动及稳定性 张星星,王超超,王垚,徐乐中,吴聘(3715) 于 AHP-PROMETHEE II 法的鸟类石磷间收污泥预处理方案决策 刘吉宝,牛雨形,郁达伟,谭颖锋,左壮,魏源送(3731) 于厌氧膜生物反应器的剩余污泥-餐厨垃圾厌氧共消化性能 戴金金,牛承鑫,潘阳,陆雪琴,甄广印,郑朝婷,张瑞良,何欣昱(3740) 剂量抗生素诱导抗性基因水平迁移 袁其懿,CHEN Hong-jie,Laurence Haller,何义亮(3748) 刚素胁迫对 Shigella flexneri 细菌四环素抗性基因抗性表达的影响过程 高品,阮晓慧,邱文婕,薛罡,钱雅洁(3758) 股对氨氧化菌和亚硝酸盐氧化菌的竞争性选择 高品,阮晓慧,邱文婕,薛罡,钱雅洁(3758) 股对氨氧化菌和亚硝酸盐氧化过程中微生物菌群结构影响 侯晓薇,牛永健,李维维,王光杰,孙洪伟(3773) 生物种同相互作用产生锰氧化的普适性选择 海路,等波,李维维,甚光杰,孙洪伟(3773) 生物种同相互作用产生锰氧化的普适性及其潜在应用 宁雪,梁金松,柏耀挥,廖恺玲俐,刘贞辉(3781) 亚河红树林表层沉积物中好氧氨氧化微生物的分布特征及潜在硝化速率 罗晴,甄毓,彭宗波,贺惠(3781) 亚河红树林表层沉积物中好氧氨氧化微生物的分布特征及潜在硝化速率 罗晴,甄翰,彭宗波,贺惠(3787) 变碳输入对新疆天山雪岭云杉林土壤呼吸的短期影响 师章,方笑堃,罗小三,张丹,吴礼春,邱丹,陈志炜,赵辟(3797) 变碳输入对新疆天山雪岭云杉林土壤呼吸的短期影响 原生,方笑堃,罗小三,张丹,吴礼春,邱升,陈志炜,赵辟(3804) 机无机肥配施对不同程度盐渍土 N ₂ O 排放的影响
质硫自养短程反硝化耦合厌氧氨氧化强化脱氮 方文烨,李祥、黄勇,郭超然,胡羽婷,陶仁杰(3699) 歇梯度曝气的生活污水好氧颗粒污泥脱氮除磷 张玉君,李冬,李帅,张杰(3707) 于不同废污泥源的短程反硝化快速启动及稳定性 张星星,王超超,王垚,徐乐中,吴鹏(3715) 于 AHP-PROMETHEE II 法的鸟粪石磷回收污泥预处理方案决策 刘吉宝,牛雨彤,郁达伟,谭颖锋,左壮,魏源送(3731) 于厌氧膜生物反应器的剩余污泥-餐厨垃圾厌氧共消化性能 戴金金,牛承鑫,潘阳,陆雪琴,甄广印,郑朝婷,张瑞良,何欣昱(3740) 剂量抗生素诱导抗性基因水平迁移 袁其懿,CHEN Hong-jie,Laurence Haller,何义亮(3748) 怀紊胁迫对 Shigella flexneri 细菌四环素抗性基因抗性表达的影响过程 高品,阮晓慧,邱文婕,薛罡,钱雅洁(3758) 胺对氨氧化菌和亚硝酸盐氧化过程中微生物菌群结构影响 侯晓薇,牛永健,李维维,王光杰,孙洪伟(3773) 建物种间相互作用产生锰氧化的普适性及其潜在布面用 宁雪,梁金松,柏耀辉,廖恺玲俐,刘会娟,曲久辉(3781) 亚河红树林表层沉积物中好氧氨氧化微生物的分布特征及潜在硝化速率 罗晴,甄毓,彭宗波,贺惠(3787) 氧污染对水稻生长,产量及矿质金属元素含量的影响 方笑堃,罗小三,张丹,吴礼春,邱丹,陈志炜,赵跃(3797) 变碳输入对新疆天山雪岭云杉林土壤呼吸的短期影响 市关堃,罗小三,张丹,吴礼春,邱丹,陈志炜,赵张(3797) 变碳输入对新疆天山雪岭云杉林土壤呼吸的短期影响 邓康,贡馨,两学敏,陈文静,张雪妃,朱海猛(3804) 机肥配施对工同程度盐渍土 N,O 排放的影响
于 AHP-PROMETHEE II 法的鸟粪石磷回收污泥预处理方案决策
于 AHP-PROMETHEE II 法的鸟粪石磷回收污泥预处理方案决策
于 AHP-PROMETHEE II 法的鸟粪石磷回收污泥预处理方案决策
价铁对厌氧消化过程中氨氮抑制解除的影响
于厌氧膜生物反应器的剩余污泥-餐厨垃圾厌氧共消化性能 … 戴金金,牛承鑫,潘阳,陆雪琴,甄广印,郑朝婷,张瑞良,何欣昱(3740)剂量抗生素诱导抗性基因水平迁移 袁其懿,CHEN Hong-jie,Laurence Haller,何义亮(3748)
剂量抗生素诱导抗性基因水平迁移 袁其懿,CHEN Hong-jie,Laurence Haller,何义亮(3748) 环素胁迫对 Shigella flexneri 细菌四环素抗性基因抗性表达的影响过程
环素胁迫对 Shigella flexneri 细菌四环素抗性基因抗性表达的影响过程 高品,阮晓慧,邱文婕,薛罡,钱雅洁(3758) 胺对氨氧化菌和亚硝酸盐氧化菌的竞争性选择
胺对氨氧化菌和亚硝酸盐氧化菌的竞争性选择
温冲击对亚硝酸盐氧化过程中微生物菌群结构影响
生物种间相互作用产生锰氧化的普适性及其潜在应用
亚河红树林表层沉积物中好氧氨氧化微生物的分布特征及潜在硝化速率 罗晴,甄毓,彭宗波,贺惠(3787) 氧污染对水稻生长、产量及矿质金属元素含量的影响
氧污染对水稻生长、产量及矿质金属元素含量的影响 方笑堃,罗小三,张丹,吴礼春,邱丹,陈志炜,赵朕(3797)变碳输入对新疆天山雪岭云杉林土壤呼吸的短期影响 邓康,贡璐,何学敏,陈文静,张雪妮,朱海强(3804)机无机肥配施对不同程度盐渍土 N ₂ O 排放的影响 周慧,史海滨,郭珈玮,张文聪,王维刚(3811)位电阻热脱附土壤升温机制及影响因素 葛松,孟宪荣,许伟,施维林(3822) 穿灯心草作为酸性矿山废弃地先锋植物潜力 黄建洪,伏江丽,严鑫睿,尹凤,田森林,宁平,李英杰(3829) 灌方式和生物质炭对温室土壤矿质态氮及其微生物调控的影响 蔡九茂,刘杰云,邱虎森,吕谋超,周新国(3836) 秆炭调控对碱性镉污染水稻根际土壤真菌群落结构和功能的影响 郊师豆,韩耀光,朱新萍,吴相南(3846)
变碳输入对新疆天山雪岭云杉林土壤呼吸的短期影响
机无机肥配施对不同程度盐渍土 N ₂ O 排放的影响
位电阻热脱附土壤升温机制及影响因素 ····································
序灯心草作为酸性矿山废弃地先锋植物潜力 ······················ 黄建洪,伏江丽,严鑫睿,尹凤,田森林,宁平,李英杰(3829) 灌方式和生物质炭对温室土壤矿质态氮及其微生物调控的影响 ··············· 蔡九茂,刘杰云,邱虎森,吕谋超,周新国(3836) 秆炭调控对碱性镉污染水稻根际土壤真菌群落结构和功能的影响 ······················ 刘师豆,韩耀光,朱新萍,吴相南(3846)
灌方式和生物质炭对温室土壤矿质态氮及其微生物调控的影响 ·················· 蔡九茂,刘杰云,邱虎森,吕谋超,周新国(3836) 杆炭调控对碱性镉污染水稻根际土壤真菌群落结构和功能的影响 ················· 刘师豆,韩耀光,朱新萍,吴相南(3846)
秆炭调控对碱性镉污染水稻根际土壤真菌群落结构和功能的影响 刘师豆,韩耀光,朱新萍,吴相南(3846)
忙灰厕拴刈厕往输污染水稻恨际土壤具困栟洛萡构和切能的影响
(7 L. /) Attended Date (A. a.) Trans March Burger L. Att. (a.) He for A. H. A.
同水分管理模式联合叶面喷施硅肥对水稻 Cd 累积的影响 ····································
魏宾坛,周航,刘佳炜,张竞颐,黄芳,霍洋,胡雨丹,辜娇峰,刘俊,廖柏寒(3855)
合剂 GLDA 对象草修复镉污染农田的影响 ······················· 覃建军, 唐盛爽, 蒋凯, 黄敬, 侯红波, 龙坚, 彭佩钦(3862) 植业面源污染防控技术发展历程分析及趋势预测 ································ 俞映倞, 杨林章, 李红娜, 朱昌雄, 杨根, 薛利红(3870)
F境科学》征订启事(3636) 《环境科学》征稿简则(3764) 信息(3538,3628,3724)



棉秆炭调控对碱性镉污染水稻根际土壤真菌群落结构 和功能的影响

刘师豆1, 韩耀光1, 朱新萍1,2*, 吴相南3

(1. 新疆农业大学草业与环境科学学院,乌鲁木齐 830052; 2. 新疆土壤与植物生态过程重点实验室,乌鲁木齐 830052; 3. 甘肃省建筑科学研究院有限公司,兰州 730050)

摘要:为研究棉秆炭对碱性镉污染水稻根际土壤真菌多样性、结构及功能的影响,采用室外水稻盆栽试验,在土壤中添加了 0.1 和 8 mg·kg⁻¹的镉和炭土质量比分别为 0%.1% 和 5% 的棉花秸秆生物质炭,以水稻成熟期根际土壤为研究对象,借助 Illumina HiSeq 高通量测序手段分析棉秆炭与镉污染条件对碱性水稻根际土壤真菌群落多样性、结构及潜在功能的影响,探寻不同土壤环境因子与真菌群落结构间的关联性. 结果表明:① 施用棉秆炭显著提高了土壤 pH、速效养分和有机质等指标,并降低土壤中可还原态镉的含量(P < 0.05).② 水稻根际土壤真菌菌门分布主要为子囊菌门、Aphelidiomycota 门和壶菌门,占所有菌门的 57%. 菌属分布主要为被孢霉属、链格孢属和镰刀菌属. 各处理间真菌群落 α -多样性差异显著(P < 0.05).未添加棉秆炭处理下(C0),镉浓度的增加降低了土壤中壶菌门、被孢霉属和链格孢属的相对丰度和真菌多样性指数(Shannon 指数). 在不同浓度镉处理下(Cd0、Cd1 和 Cd8),增加棉秆炭会降低真菌群落丰富度指数(Chaol 指数)和 Shannon 指数. 镉污染导致土壤中壶菌门相对丰度增多,却使子囊菌门丰度下降,施用棉秆炭可显著提升壶菌门的相对丰度(P < 0.05). 镉污染使被孢霉属和链格孢属丰度下降,但是施用棉秆炭可使链格孢属相对丰度增多。增加棉杆炭施用量、土壤中会存在更多的内生菌、植物病原体和腐生菌;而镉污染程度增加会减少土壤中内生菌、植物病原体和腐生菌。③ 影响真菌群落多样性及结构的主要环境因子有土壤速效钾、有机质和 pH. 水稻土壤镉含量中占比最大的可还原态锅与轮形动物门、Aphelidiomycota 门和子囊菌门呈显著正相关(P < 0.05),但与其它菌门呈负相关(P < 0.05)。研究结果说明棉秆炭在碱性镉污染土壤微生态调控方面具有一定的作用.

关键词:棉秆炭;镉;根际土壤;真菌;多样性

中图分类号: X172 文献标识码: A 文章编号: 0250-3301(2020)08-3846-09 **DOI**: 10.13227/j. hjkx. 202001201

Effects of Cotton Stalk Biochar on the Structure and Function of Fungi Community in Alkaline Rhizosphere Soil of Rice Under Cadmium Pollution

LIU Shi-dou¹, HAN Yao-guang¹, ZHU Xin-ping^{1,2*}, WU Xiang-nan³

(1. College of Grassland and Environmental Sciences, Xinjiang Agricultural University, Urumqi 830052, China; 2. Xinjiang Key Laboratory of Soil and Plant Ecological Processes, Urumqi 830052, China; 3. Gansu Building Research Institute Limited Company, Lanzhou 730050, China)

Abstract: To study the effects of cotton stalk biochar on the regulation of fungal diversity, the structure and function of alkaline rice rhizosphere soil under cadmium pollution was investigated. An outdoor pot experiment was conducted by adding cotton stalk biochar (0%, 1%, and 5%) to an alkaline paddy soil with a cadmium concentration of 0.1 and 8 mg·kg⁻¹. Taking rice rhizosphere soil as the research object, Illumina HiSeq sequencing was used to analyze the effects of cotton stalk biochar and cadmium pollution on the diversity, structure, abundance, and function of fungi in an alkaline rhizosphere soil, and to explore the correlation between soil environmental factors and the fungal community under the control of cotton stalk biochar. The results showed that: ① the application of cotton stalk biochar significantly increased the soil pH, available nutrients, and organic matter, and reduced the content of reducible cadmium in the soil (P < 0.05). 2 The distribution of rice rhizosphere soil fungi was mainly Ascomycota, Aphelidiomycota, and Chytridiomycota, which accounted for 57% of all mycophytes. The genus was mainly Mortierella, Alternaria, and Fusarium. There was a significant difference in the α -diversity of the fungal community among the treatments (P < 0.05). In the absence of cotton stalk biochar (CO), the increase in the cadmium concentration reduced the relative abundance and fungal diversity index (Shannon index) of Chytridiomycota, Mortierella, and Alternaria in the soil. Under different concentrations of cadmium (CdO, CdI, and Cd8), increasing cotton stalk biochar reduced the fungal community richness index (Chao1 index) and Shannon index. Cadmium pollution resulted in an increase in the relative abundance of Chytridiomycota in the soil, but decreased the abundance of Alternaria. The application of cotton stalk biochar could significantly increase the relative abundance of Chytridiomycota (P < 0.05). Cadmium pollution reduced the abundance of Mortierella and Alternaria, but the application of cotton stalk biochar could increase the relative

收稿日期: 2020-01-27; 修订日期: 2020-02-25

基金项目:新疆维吾尔自治区自然科学基金项目(2017D01A36);新疆维吾尔自治区研究生科研创新项目(XJ2019G143);国家级大学生创新研究项目(201810758005)

作者简介: 刘师豆(1994~),女,硕士研究生,主要研究方向为环境污染控制与修复,E-mail:1436476722@ qq. com

^{*} 通信作者, E-mail: zhuxinping1978@163. com

abundance of *Alternaria*. Increasing cotton stalk biochar means that soil will have more endophytes, plant pathogens, and saprophytes; while increasing cadmium pollution will reduce endophytes, plant pathogens, and saprophytes in the soil. 3 The main environmental factors affecting the diversity and structure of fungal communities are the available potassium, organic matter, and pH of the soil. The reducible cadmium content, which comprises the largest proportion of cadmium in rice soil, was significantly positively correlated to Rotifera, Aphelidiomycota, and Ascomycota (P < 0.05), but negatively correlated to other mycophytes (P < 0.05). The results indicate that cotton stalk biochar plays a certain role in the microecological regulation of alkaline cadmium-contaminated soil. **Key words**:cotton stalk biochar; cadmium; rhizosphere soil; fungus; diversity

根际土壤微生物指生活在植物根系土壤中的细 菌、放线菌、真菌、藻类和原生动物等[1],因受植物 根系和分泌物影响[2],它们的数量是非根际微生物 数量的几倍或几十倍[3]. 真菌在土壤-植物生态系统 中发挥着重要作用[4],一方面真菌可参与植物残体 的分解,推动土壤养分的循环[5],另一方面真菌也 受到植物和土壤理化性质的影响[6],如植物种类、 土壤 pH^[7]、水分^[8]、温度^[9] 和营养状况^[10]等. 真菌 对环境污染物有很好的指示作用[11],重金属镉污染 不仅影响土壤理化性质[12],抑制植物生长,而且对 土壤真菌群落多样性和组成结构也有重要影响[13]. 有研究表明,土壤中真菌会随着镉污染浓度的增加 与污染时间的延长,真菌数量和多样性均降低[14]; 但也有研究发现镉污染增加了植物根际土壤中真菌 群落的多样性[15];还有研究认为镉对根际土壤真 菌群落影响不明显[16]. 真菌对重金属污染较细菌更 敏感[17],土壤真菌群落结构特征可以从侧面反映土 壤重金属的污染程度,预测土壤环境质量的改 变[18],因此开展植物根际土壤真菌群落多样性相关 研究,对深入揭示土壤真菌对重金属等外来干扰的 响应机制有着重要的意义.

生物质炭(biochar,BC)是生物质在缺氧条件下 高温裂解生成的一类新型环境功能材料[19],有研究 表明生物质炭在改善土壤理化性质,降低土壤真菌 群落的丰富度和均匀度[20],促进植物的生长发 育[21]以及降低重金属生物有效性方面具有良好的 效果[22]. 目前生物质炭的研究多集中在中国东南部 的酸性重金属污染农业土壤区域[23],而新疆土壤的 pH 值普遍大于 8. 0^[24],因而在碱性镉污染土壤中施 用棉秆炭对作物根际土壤真菌群落会有怎样的影 响?近年来,农田土壤镉超标问题导致水稻(Oryza sativa L.) 生产安全受到威胁[25], 新疆水稻主产区 之一的米东区曾有稻田土壤镉超标的报道[26].稻田 环境与旱地相比可能更复杂[27],真菌数量虽不如细 菌和放线菌多,但是真菌对稻田土壤的温室气体排 放、有机碳固定及污染物的降解有着极其重要的作 用[28]. 目前有关碱性水稻根际土壤中真菌对镉污染 和生物质炭的双重作用下的响应机制尚不明确. 本 研究利用 Illumina HiSeq 高通量测序技术分析了在 不同浓度的碱性镉污染土壤中施用棉花秸秆生物质 炭对水稻根际土壤真菌 α-多样性、结构和潜在功能 的影响,探讨各处理下土壤环境因子与真菌间的关 系,以期为棉秆炭对碱性镉污染水稻根际土壤微生 态调控提供科学参考.

1 材料与方法

1.1 试验材料与盆栽设计

供试水稻根际土壤取自室外盆栽试验,盆栽试验土壤为乌鲁木齐市米东区稻田土壤. 试验设计参考《土壤环境质量农用地土壤污染风险管控标准(试行)》(GB 15618-2018),各处理土壤中添加镉浓度分别为0、1 和 8 mg·kg⁻¹,分别记为 Cd0、Cd1 和 Cd8,稳定2个月后,按照占土壤的质量分数分别施入0%、1%和5%的棉秆炭,分别记为 C0、C1和 C5,共9处理,每处理3重复.棉秆生物质炭由新疆农业科学院提供,炭化温度为360℃,炭化时间为16h,过0.5 mm 筛备用.棉秆生物质炭 pH 值为9.37,全氮21.76 g·kg⁻¹,全磷10.58 g·kg⁻¹,全钾21.45 g·kg⁻¹,碱解氮5.38 mg·kg⁻¹,速效磷200.94 mg·kg⁻¹,隔含量0.083 mg·kg⁻¹,种植特丰优2号水稻,在水稻成熟期采集根际土壤待测.

1.2 水稻根际土壤的采集

根际土壤采集方法参考文献[29]中的抖落法, 根际土壤过20目尼龙筛后,用四分法保留3g的土 壤鲜样装入已灭菌的EP管中,立即放入-80℃液 氮中保存,共27份样品用于土壤真菌分析.

1.3 试验方法

1.3.1 土壤理化性质及镉形态测定方法

土壤 pH、电导率、速效钾、速效磷、碱解氮和有机质测定方法参考文献[30]. 采用 BCR 逐步提取法[31]测定土壤镉形态.

1.3.2 真菌 18ITS 测序

采用微生物 Marker 基因高通量测序评估真菌 群落结构和多样性,使用 MN NucleoSpin 96 Soil 试 剂盒/强力土壤 DNA 提取试剂盒(PowerMag[™] Soil DNA isolation Kit, MO BIO) 从样品中提取真菌总 DNA. 利用特异引物 ITS1F(5'-CTTGGTCATTTAGAG GAAGTAA-3') 和 ITS2(5'-GCTGCGTTCTTCATCGAT GC-3'),结合适配器序列和条形码序列进行扩增.本 研究样品的测序和生物信息服务在北京百迈客生物 科技有限公司 Illumina HiSeq 2500 平台完成.

1.4 数据处理与分析

基于 R(v3.3.2)的 agricolae 软件包进行正态分 布和方差齐性检验(normal distribution and homogeneity of variance test)及单因素方差分析 (One-way ANOVA),并在5%显著性水平下做LSD (least significant difference)多重比较.

1.5 生物信息学分析

使用 FLASH(v1.2.11) 对原始数据进行拼接,通 过 Trimmomatic(v 0.33)将拼接得到的序列进行质量 过滤,借助 UCHIME(v8.1)去除嵌合体,获得高质量 Tags 序列. 使用 USEARCH(v10.0)对 OTU 进行相似 度为97%的聚类,以测序所有序列数的0.005%作为 阈值过滤 OTU. 使用 RDP Classifier(v2.2)对分类群 进行分类,最小可信度估计为80%.

借助 Mothur (v1.30) 分析真菌群落 α -多样性, 通过 ggpubr 软件包中 Kruskal-Wallis 检验比较组间 差异,并使用 ggplot2 软件包完成绘图. 冗余分析 (Reundancy analysis, RDA)环境因子对真菌群落组 成的影响,蒙特卡罗置换检验(Monte Carlo permutation, n = 999) 测试分析结果的显著性. 基于 KEGG 数据库,使用 STAMP(v2. 1. 3)进行真菌功能 差异显著性分析及绘图.

41 卷

2 结果与分析

2.1 棉秆炭调控对碱性镉污染水稻根际土壤养分 的影响

由表 1 可知,在相同炭量处理下,水稻土壤 pH、 电导率、有机质和速效养分(碱解氮、速效钾和速效 磷)含量随镉浓度递增而逐渐减少(P<0.05).相同 镉浓度处理下,与对照 CO 相比,添加棉秆炭可以显 著提高水稻土壤 pH 电导率和土壤养分(P < 0.05).

棉秆炭对碱性镉污染水稻土壤养分的影响1)

	Table I E	flects of cotton stalk bi	ochar on nutrients in a	in alkaline cadmium-co	ntaminated paddy soil	1 3 / //
处理	6H	电导率	碱解氮	速效磷	速效钾	有机质
处理	/111/	/μS·cm ⁻¹	/mg·kg ⁻¹	/mg·kg ⁻¹	/mg⋅kg ⁻¹	/g•kg ⁻¹
Cd0C0	$8.06 \pm 0.03 d$	931. 00 ± 1. 00c	17.37 ± 1.58e	$15.30 \pm 0.26 d$	$1\ 075.\ 72\ \pm0.\ 97\mathrm{f}$	39. 47 ± 0. 31e
Cd0C1	$8.17 \pm 0.03c$	$1019.33 \pm 1.53b$	58.06 ± 1.58 b	$17.92 \pm 0.25 c$	$1\ 255.\ 63\ \pm 1.\ 92\mathrm{d}$	$41.67 \pm 0.28 d$
Cd0C5	$8.37 \pm 0.02a$	1202. 67 ± 6. 11a	73. 15 \pm 2. 10a	26. 97 ± 0. 64a	4 474. 93 ± 11. 92a	$58.23 \pm 0.26a$
Cd1C0	7. 89 ± 0.00 f	$731.67 \pm 2.52g$	14. 17 ± 2. 10f	$11.67 \pm 0.12e$	923. $32 \pm 0.32h$	38. 26 ± 0.80 f
Cd1C1	$7.93 \pm 0.03e$	829. 67 \pm 2. 05 e	$31.09 \pm 1.58 d$	$17.47 \pm 0.05 c$	$1\;205.\;67\;\pm1.\;40\mathrm{e}$	$39.85 \pm 0.52e$
Cd1C5	$8.29 \pm 0.02b$	891. 67 ± 2. 08d	71. 78 ± 2. 86a	$26.67 \pm 0.25 a$	$4\ 225.\ 11\ \pm23.\ 75\mathrm{b}$	53. 38 \pm 0. 34b
Cd8C0	$7.74 \pm 0.01g$	563. 33 ± 3. 51i	$6.86 \pm 0.00g$	6. 33 \pm 0. 58 f	$685.26 \pm 1.85i$	$36.78 \pm 0.02g$
Cd8C1	7. 89 \pm 0. 01f	$633.00 \pm 1.00 h$	$8.23 \pm 0.01 g$	6.50 ± 0.00 f	$1~048.~21~\pm 0.~28\mathrm{g}$	38. 98 \pm 0. 45 ef
Cd8C5	$8.\ 16 \pm 0.\ 02c$	$805.00 \pm 2.65 f$	$34.28 \pm 2.38c$	23.00 ± 1.00 b	$3596.17\pm5.43\mathrm{c}$	$46.25 \pm 1.11c$

2.2 棉秆炭调控对碱性镉污染水稻根际土壤镉赋 存形态的影响

由图 1 可知,在 Cd1 和 Cd8 处理下,土壤中镉的 形态分布情况为:可还原态(41.43%~74.63%)>残 渣态(19.79%~54.98%)>可氧化态(2.26%~ 5.06%)>酸提取态(0.63%~2.17%),水稻土壤中 镉主要以可还原态存在,酸提取态较少. 在相同镉浓 度处理下,随棉秆炭施用量的增加可显著降低还原态 镉的含量(P<0.05);酸提取态和可氧化态镉含量随 炭量变化的趋势与可还原态镉一致,残渣态镉含量变 化趋势相反(P<0.05),说明棉秆炭的添加能有效降 低土壤中易被植物吸收利用的有效态镉(酸提取态和 可还原态镉)含量,增加残渣态镉含量.

2.3 棉秆炭调控对碱性镉污染水稻根际土壤真菌 α-多样性的影响

测得所有样品覆盖度超过99.95%,说明测序深 度足够,能满足后续分析. 各处理间真菌群落 α-多

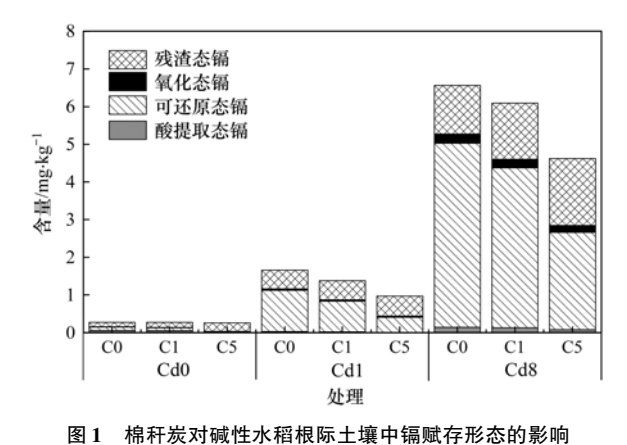


Fig. 1 Effect of cotton stalk biochar on the fractions of cadmium in an alkaline paddy soil

样性均达到差异显著水平(P < 0.05). 由 α-多样性 箱型图得出(见图 2),在 CO 处理下,随着镉浓度的 递增,Chao1 指数(丰富度指数)呈 Cd1 > Cd0 > Cd8 的趋势, Shannon 指数(多样性指数)呈 Cd0 > Cd1 >

¹⁾ 同列数据后不同小写字母表示差异显著(P<0.05)

Cd8 的逐渐递减趋势. C1 处理下,真菌 OTUs、Chaol 指数和 Shannon 指数均随镉浓度递增而逐渐提高 (*P* < 0.05). 而在不同镉浓度处理下(Cd0、Cd1 和 Cd8),与 C0 相比,施用棉秆炭处理均使真菌多样性和丰富度下降(*P* < 0.05).

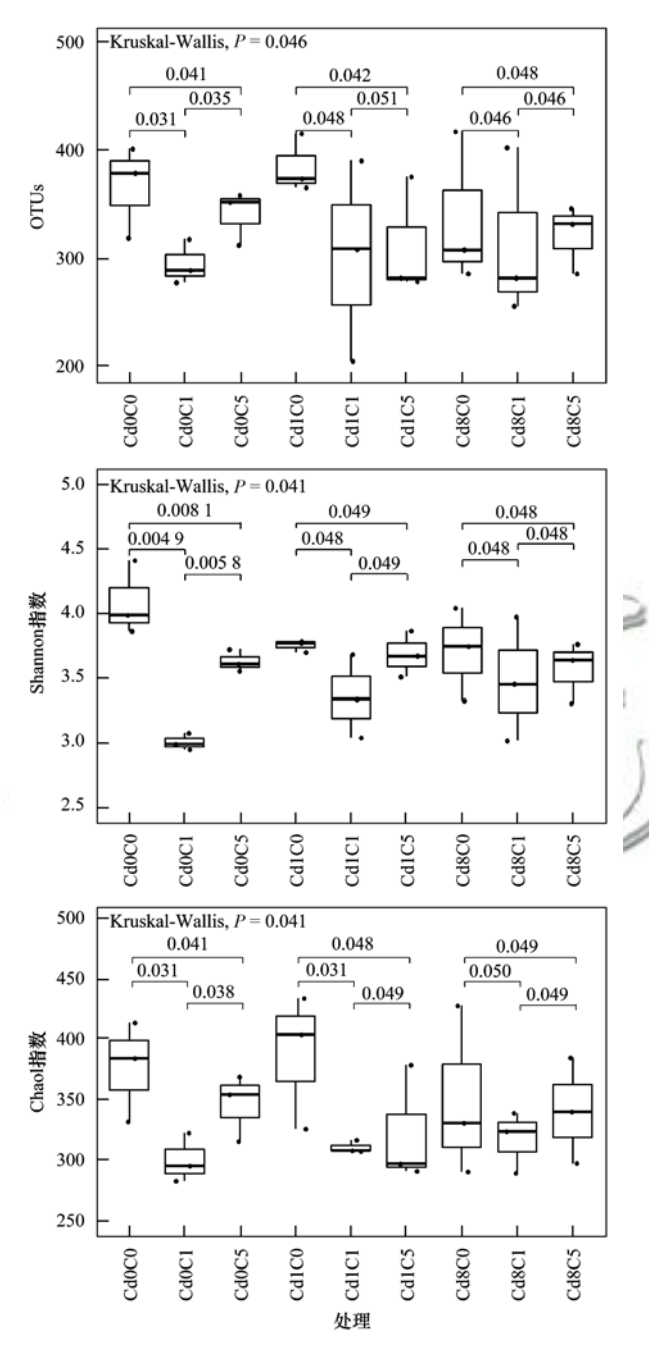


图 2 棉秆炭对碱性水稻根际土壤真菌群落 α-多样性的影响

Fig. 2 Effects of cadmium and cotton stalk biochar on the α -diversity of fungal communities in an alkaline rhizosphere soil of rice

2.4 棉秆炭调控对碱性镉污染水稻根际土壤真菌 群落物种丰度的影响

物种组成分析反映样品在不同分类学水平上的 群落结构,真菌群落组成对不同浓度镉污染和棉秆 炭的响应不同.9个处理水稻根际土壤的真菌共检 测出11个门和72个属.图3为门水平上水稻根际

土壤 真菌物种丰度分布图.剔除了495条 unclassified 序列,显示了前 10 位的菌门. 分别为子 囊菌门(Ascomycota)、Aphelidiomycota门、壶菌门 (Chytridiomycota)、被孢霉门(Mortierellomycota)、担 子菌门(Basidiomycota)、隐真菌门(Rozellomycota)、 油壶菌门(Olpidiomycota)、单毛壶菌门 (Monoblepharomycota)、轮形动物门(Rotifera)和球 囊菌门(Glomeromycota). 在未被镉污染土壤中 (CdO),壶菌门和轮形动物门的丰度随生物质炭施 用量的增加(0~5%)而增多,与空白 CO 相比,各菌 门丰度在 C5 处理下分别增加了 1.63 倍和 6.29 倍. Aphelidiomycota 门和油壶菌门丰度随炭量增多而逐 渐降低,C5处理下,各菌门丰度分别比空白组 C0 降 低了 1.42 倍和 7.14 倍.Cd1 浓度中,油壶菌门丰度 随炭量增加而减少,被孢菌门和隐真菌门丰度反之 增多. Cd8 浓度中, 隐真菌门丰度随炭量递增而递 减,壶菌门丰度反之增多.而在未添加生物质炭条件 下(CO),壶菌门丰度随镉浓度递增而逐渐增加,Cd8 处理下比 Cd0 增加了 24.9%,子囊菌门和单毛壶菌 门丰度随镉浓度递增而逐渐降低,在 Cd8 处理下比 Cd0 降低了 0.41 倍和 1.61 倍.

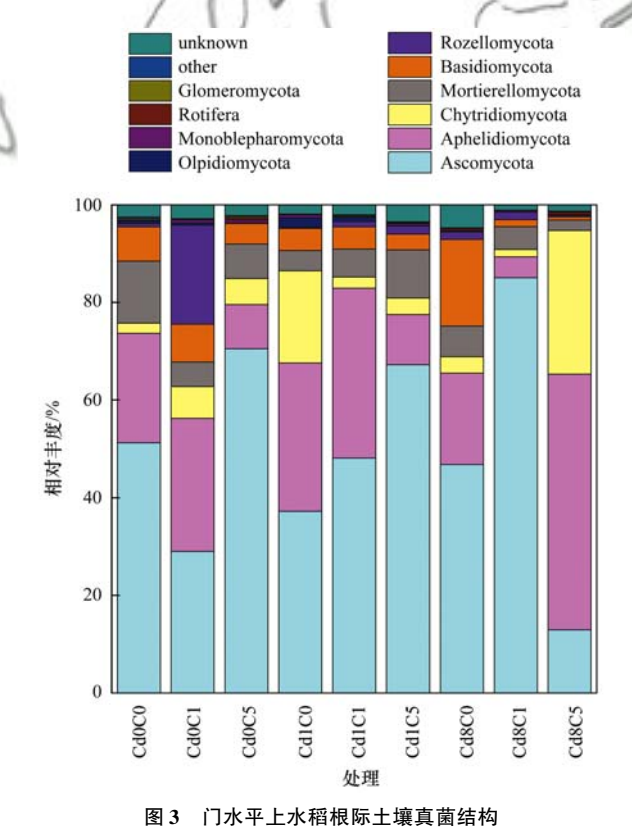


Fig. 3 Relative abundance distribution of Fungus species in a rhizosphere soil of rice at the phylum level

表2显示了前9位的菌属,分别为被孢霉属(Mortierella)、链格孢属(Alternaria)、镰刀菌属(Fusarium)、维希尼克氏酵母属(Vishniacozyma)、枝

孢属(Cladosporium)、线黑粉酵母属(Filobasidium)、 曲霉属(Aspergillus)、拟棘壳孢属(Pyrenochaetopsis) 和 Naganishia 属. 在未被镉污染土壤中(CdO),链格 孢属丰度随生物质炭量的增多而逐渐降低,C5 处理 下其丰度较空白 C0 下降了 2.70 倍. 在 Cd1 浓度 下,被孢霉属、链格孢属、镰刀菌属和枝孢属的丰度 随炭量递增而增多,线黑粉酵母属丰度反之减少.在 Cd8 浓度下,枝孢属丰度随炭量增多而减少.而在未添加生物质炭条件下,被孢霉属、链格孢属、曲霉属和 Naganishia 属丰度随镉浓度递增而逐渐降低,各菌属丰度在 C5 处理下较空白 C0 分别下降了 1.61、1.28、0.96 和 3.85 倍.

表 2 属水平上水稻根际土壤真菌结构/%

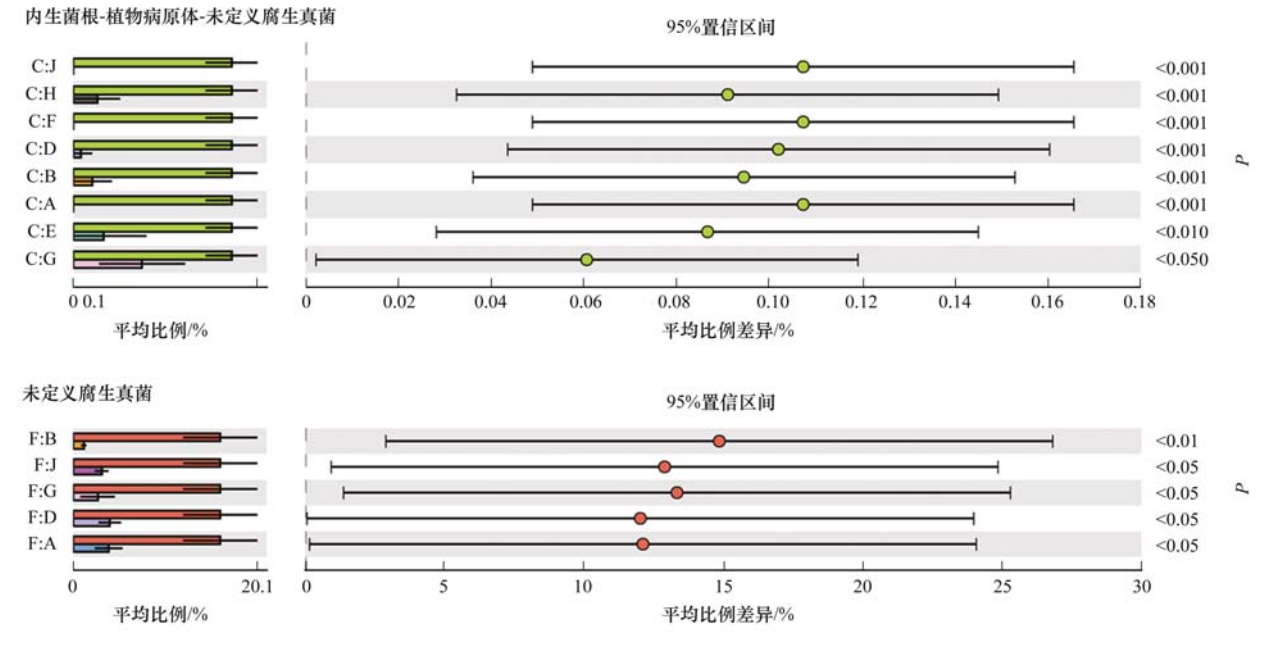
Table 2 Relative abundance of fungal species in a rhizosphere soil of rice under different treatments/%

77	属	处理								
1.1	/周	Cd0C0	Cd0C1	Cd0C5	Cd1C0	Cd1C1	Cd1C5	Cd8C0	Cd8C1	Cd8C5
被孢霉门(Mortierellomycota)	被孢霉属(Mortierella)	2. 27	0. 47	1. 30	0. 92	1. 58	3. 61	0.87	3. 58	0.86
	链格孢属(Alternaria)	0.71	0. 23	0. 19	0.48	0.77	1. 17	0.31	0.36	0. 17
半知菌亚门(Deuteromycotina)	镰刀菌属(Fusarium)	0.17	0.11	0.44	0.17	0.40	0. 93	0.53	0.85	0. 22
	枝孢属(Cladosporium)	0.42	0.10	0. 14	0. 19	0. 23	0. 27	0. 28	0. 26	0. 13
	线黑粉酵母属(Filobasidium)	0.30	0.04	0.09	0.49	0. 18	0. 10	0.02	0. 14	0. 10
担子菌门(Basidiomycota)	维希尼克氏酵母属(Vishniacozyma)	0.12	0.04	0.20	0.20	0.01	0. 28	1.83	0.02	0.03
	长西氏酵母属(Naganishia)	0.42	0. 10	0. 14	0. 19	0. 23	0. 27	0. 28	0. 26	0. 13
子囊菌门(Ascomycota)	曲霉属(Aspergillus)	0. 23	0.06	0. 18	0.13	0.03	0. 19	0. 12	0.27	0. 10
1 38 Ed 1 (1150 m y cota)	拟棘壳孢属(Pyrenochaetopsis)	0.10	0.07	0. 19	0.13	0.09	0. 25	0.01	0.38	0.07

2.5 棉秆炭调控碱性水稻根际土壤的真菌群落功能预测分析

通过 PICRUSt 功能注释软件将测序所得真菌群落组成"映射"到 Greengenes 数据库中,基于基因功能谱预测真菌基因组的潜在功能. 使用 FUNguide (v1.0, https://github.com/UMNFuN/FUNGuild)获得结果(见图 4),由内生菌根-植物病原体-未定义腐生真菌(endomycorrhizal-plant pathogen-undefined saprotroph)分析可见: C(CdOC5) > A(CdOC0),

C(Cd0C5) > B(Cd0C1); C(Cd0C5) > F(Cd1C5), C(Cd0C5) > J(Cd8C5), 即在 Cd0 浓度下, C5 处理与 CO和 C1相比较,存在更多的内生菌和植物病原体;而在 C5 处理下,随镉污染浓度增高,内生菌、植物病原体和腐生菌会减少.由未定义腐生真菌分析可见: F(Cd1C5) > D(Cd1C0), F(Cd1C5) > J(Cd8C5),即在 Cd1 浓度下, C5 处理比 C0 有更多的腐生菌;而在 C5 处理下, Cd1比 Cd8 处理存在更多的腐生菌.



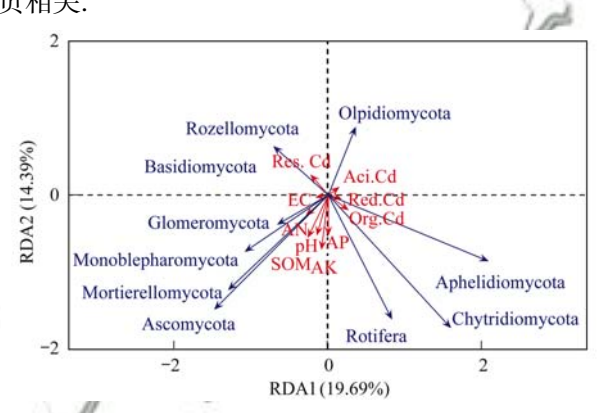
方便测序分析: A 表示 Cd0C0, B 表示 Cd0C1, C 表示 Cd0C5, D 表示 Cd1C0, E 表示 Cd1C1, F 表示 Cd1C5, G 表示 Cd8C0, H 表示 Cd8C1 和 J 表示 Cd8C5; C: J 表示两个处理间的比较,以此类推

图 4 棉秆炭对碱性水稻根际土壤真菌群落的功能影响预测

Fig. 4 Effects of cotton stalk biochar on fungal community function in an alkaline rice rhizosphere soil of rice

2.6 环境因子与真菌群落间相关性分析

由 RDA 分析得出(见图 5),在镉污染和棉秆炭 处理下,真菌群落结构与水稻土壤镉的赋存形态和 土壤 pH、养分等 10 个环境因子之间的关联性. 速效 钾、有机质和 pH 是影响真菌群落结构最主要的环 境因子,其次是速效磷、碱解氮和残渣态镉含量.图 5中土壤 pH、电导率和各养分指标分别与子囊菌门 (Ascomycota)、被孢菌门(Mortierellomycota)、单毛壶 菌门 (Monoblepharomycota)、球囊菌门 (Glomeromycota)和轮形动物门(Rotifera)呈显著正 相关(P<0.05).酸提取态、可还原态和可氧化态镉 含量分别与轮形动物门、Aphelidiomycota 门和子囊 菌门呈显著正相关,与其它菌门呈负相关(P < 0.05). 残渣态镉含量与隐真菌门(Rozellomycota)、 油壶菌门(Olpidiomycota)和担子菌门 (Basidiomycota)呈显著正相关,与其它菌门呈显著 负相关.



Aci.Cd 表示酸提取态镉,Red.Cd 表示可还原态镉,Oxi.Cd 表示可氧化态镉,Res.Cd 表示残渣态镉,SOM 表示有机质,pH 表示酸碱度,EC 表示电导率,AK 表示速效钾,AP 表示速效磷,AN 表示碱解氮

图 5 环境因子与水稻根际土壤真菌群落间 RDA 分析

Fig. 5 RDA analysis between environmental factors and fungal communities in a rhizosphere soil of rice

3 讨论

3.1 棉秆炭调控对碱性镉污染水稻根际土壤养分和镉形态的影响

棉秆炭的施入对土壤、养分以及理化性质具有一定的调控作用.5%量的棉秆炭有效提升了土壤养分(P<0.05).生物质炭自身呈碱性,含有大量营养成分,当施用到土壤后,其附带的碱性物质和 N、P和 K等元素释放出来,显著提升了土壤的 pH、电导率、有机质和速效养分含量^[32].另一方面,生物质炭具有多空隙和高度芳香化结构,使生物质炭具备了良好的吸附性^[33],可使重金属向更稳定的形态转化,降低其生物有效性^[34].有研究表明 BCR 逐步提取法中,由于酸提取态和可还原态镉含量较不稳定,

易于被植物吸收利用,故将酸提取态和可还原态镉作为有效态镉^[35],本试验中棉秆炭的添加降低了土壤中有效态镉,这与前人研究一致^[36],这可能由于棉秆炭的施入提高了土壤 pH 值,土壤吸附反应下形成的氢氧化物为重金属提供了大量吸附位点,同时土壤及生物质炭释放的有机质成分,与 Cd²+形成稳定不易被吸收的配位络合物,从而降低了镉的有效性^[37].

3.2 棉秆炭调控对碱性镉污染水稻根际土壤真菌 群落的影响

真菌是一类种类多、分布广的真核微生物,它们具有分解有机质,为植物提供养分的功能,是生态系统健康的指示物^[38].有研究将真菌作为病原菌,认为它不利于植物生长,会降低作物产量^[39],而镉的增加会降低土壤真菌多样性^[40].生物质炭的施用会改善土壤根系环境,对根际微生物群落有显著影响,如降低真菌的多样性^[41].生物质炭可通过直接或间接作用影响土壤真菌群落多样性及结构,其直接影响机制主要为:①生物质炭可为真菌提供充足栖息地;②生物质炭自身富含的营养元素可为真菌生长提供必要条件.间接影响机制体现在;①生物质炭通过改变土壤理化性质而间接影响土壤真菌;②生物质炭通过改变其他微生物种群的活性,间接影响真菌的生长.

真菌群落对土壤酸性和碱性环境的响应不同, 目前大多研究为镉污染对酸性土壤真菌的影响,研 究发现真菌数量与镉污染浓度极显著相关[42],且随 镉浓度递增,真菌部分类群出现抗性[43]. 阎海涛 等[4]的研究认为小麦秸秆生物质炭的添加对酸性 土壤真菌 α-多样性影响不大,但能显著改变真菌群 落结构,表现为子囊菌门和担子菌门相对丰度的降 低;而顾美英等[45]在碱性土壤中施用棉秆炭后,发 现真菌多样性显著降低,且镰刀菌属等病原菌数量 明显降低. 本试验中,添加棉秆炭处理与未添加棉秆 炭处理比较,真菌群落的 α-多样性指数均明显下降 (P < 0.05),与黄修梅等^[20]的研究一致.本研究得 出在水稻根际土壤中真菌群落主要有11个菌门,与 大部分农田土壤真菌群落情况一致[20,46]. 棉秆炭的 添加使壶菌门和轮形动物门的丰度增加,使 Aphelidiomycota 门和油壶菌门丰度降低,这与前人 的研究结果相似[47]. 链格孢属[48] 和枝孢属[49] 在自 然界分布广,能引起多种植物病害,镰刀菌[50]能产 生植物激素(赤霉素),可使农作物增产.本研究发 现,未被镉污染土壤中施用棉秆炭可以降低链格孢 属的丰度,但在镉污染条件下,棉秆炭的增多会导致 被孢霉属、链格孢属、镰刀菌属和枝孢属的丰度增 高. 因此生物质炭的添加能使有益真菌丰度增多的同时,也会促进病原菌真菌类群的生长.

环境因子与植物根际土壤真菌群落间也有一定关系,阎海涛等[44]的研究认为土壤 DOC、pH 和含水率是影响褐土真菌群落的主要环境因子. 本研究中速效钾、SOM 和 pH 是影响水稻根际土壤真菌群落的主要环境因子,可见环境因子与真菌间的响应也因土壤类型而不同. 基于基因功能谱预测,镉污染使水稻根际土壤中内生菌、植物病原菌和腐生菌减少,而棉秆炭处理下则能观察到更多的内生菌、植物病原菌及腐生菌. 对于生物质炭能提高真菌功能的结果,Jenkins等[51]也有类似结论. 棉秆炭对镉污染下水稻根际土壤真菌群落的调控可能受多方面复杂因子的影响,作用机制是复杂的,需要深入开展相关研究.

4 结论

- (1)施用棉秆炭显著提高了土壤 pH、速效养分和有机质等指标,并降低土壤中可还原态镉的含量 (P<0.05),改变了水稻根际土壤微生境.
- (2) 镉污染增加降低了水稻根际土壤真菌群落 多样性和丰富度(P<0.05). 各镉浓度下施用棉秆炭后,真菌群落 Chao1 指数和 Shannon 指数均下降. 水稻根际土壤真菌在门水平上主要为子囊菌门、Aphelidiomycota 门和壶菌门,占所有菌门的 57%. 镉污染导致土壤中壶菌门相对丰度增多,却使子囊菌门丰度下降,施用棉秆炭可显著提升壶菌门的相对丰度(P<0.05). 对于真菌群落属水平而言,水稻根际土壤真菌的主要菌属为被孢霉属、链格孢属和镰刀菌属,镉污染使被孢霉属和链格孢属丰度下降,但是施用棉秆炭可使链格孢属相对丰度增多,增加棉秆炭土壤中会存在更多的内生菌、植物病原体和腐生菌;而镉污染程度增加会减少土壤中内生菌、植物病原体和腐生菌.
- (3)影响真菌群落多样性及结构的主要环境因子有土壤速效钾、有机质和 pH. 水稻土壤镉含量中占比最大的可还原态镉与轮形动物门、Aphelidiomycota门和子囊菌门呈显著正相关(P < 0.05).

参考文献:

- [1] Leinhos V, Birnstiel H. Plant growth substances produced by microorganisms of the rhizosphere and the soil [J]. Journal of Basic Microbiology, 1989, 29(7): 473-476.
- Edwards J, Johnson C, Santos-Medellín C, et al. Structure, variation, and assembly of the root-associated microbiomes of rice
 J]. Proceedings of the National Academy of Sciences of the United States of America, 2015, 112(8): E911-E920.
- [3] Zhan J, Sun Q Y. Diversity of free-living nitrogen-fixing

- microorganisms in the rhizosphere and non-rhizosphere of pioneer plants growing on wastelands of copper mine tailings [J]. Microbiological Research, 2012, 167(3): 157-165.
- [4] Miao C P, Mi Q L, Qiao X G, et al. Rhizospheric fungi of Panax notoginseng: diversity and antagonism to host phytopathogens [J]. Journal of Ginseng Research, 2016, 40(2): 127-134.
- [5] 盛玉钰, 丛静, 卢慧, 等. 神农架国家公园林线过渡带土壤 真菌多样性[J]. 生态学报, 2018, **38**(15): 5322-5330. Sheng M J, Cong J, Lu H, *et al.* Soil fungal diversity of the timberline ecotone in Shennongjia National Park [J]. Acta Ecologica Sinica, 2018, **38**(15): 5322-5330.
- [6] Rodríguez-Blanco A, Sicardi M, Frioni L. Plant genotype and nitrogen fertilization effects on abundance and diversity of diazotrophic bacteria associated with maize (*Zea mays L.*)[J]. Biology and Fertility of Soils, 2015, 51(3): 391-402.
- [7] Janczak K J, Hrynkiewicz K, Znajewska Z, et al. Use of rhizosphere microorganisms in the biodegradation of PLA and PET polymers in compost soil [J]. International Biodeterioration & Biodegradation, 2018, 130; 65-75.
- [8] Watson T T, Nelson L M, Neilsen D, et al. Soil amendments influence Pratylenchus penetrans populations, beneficial rhizosphere microorganisms, and growth of newly planted sweet cherry[J]. Applied Soil Ecology, 2017, 117-118: 212-220.
- [9] Mateos R A, Yde J C, Wilson B, et al. The effect of temperature change on the microbial diversity and community structure along the chronosequence of the sub-arctic glacier forefield of Styggedalsbreen (Norway) [J]. FEMS Microbiology Ecology, 92 (4): fnm038, doi: 10.1093/femsec/fiw038.
- [10] 程虎,王紫泉,周琨,等.木醋液对碱性土壤微生物数量及酶活性的影响[J].中国环境科学,2017,37(2):696-701.
 Cheng H, Wang Z Q, Zhou K, et al. Effects of pyroligneous acid on quantity of microorganism and enzyme activity in alkaline soil [J]. China Environmental Science, 2017, 37(2):696-701.
- [11] 曹焜, 荆瑞勇, 周颖, 等. 吡嘧磺隆对稻田土壤真菌群落结构及土壤酶活性的影响[J]. 水土保持研究, 2016, **23**(2): 73-77.

 Cao K, Jing R Y, Zhou Y, *et al*. Effects of pyrazosulfuron-ethyl
 - on soil fungal community structure and enzyme activity [J]. Research of Soil and Water Conservation, 2016, 23(2): 73-77.
- [12] Shen M, Chen Y Q, Han H, et al. Study on electrokinetic remediation of cadmium-contaminated soil [J]. Agricultural Biotechnology, 2019, 8(1): 135-139.
- [13] Li H, Liu L M, Luo L, et al. Response of soil microbial communities to red mud-based stabilizer remediation of cadmiumcontaminated farmland[J]. Environmental Science and Pollution Research, 2018, 25(12): 11661-11669.
- [14] Albert Q, Leleyter L, Lemoine M, et al. Comparison of tolerance and biosorption of three Trace Metals (Cd, Cu, Pb) by the soil fungus Absidia cylindrospora [J]. Chemosphere, 2018, 196: 386-392.
- [15] 黄斌. Cd 和 Pb 对崇明东滩湿地土壤中细菌、真菌和放线菌的 Hormesis 效应研究[D]. 南京:南京林业大学, 2017.

 Huang B. Hormetic effects of Cd and Pb on bacteria、fungi and actinomycetes in soils of Chongming Dongtan wetland [D].

 Nanjing: Nanjing Foresty University, 2017.
- [16] 闫华, 欧阳明, 张旭辉, 等. 不同程度重金属污染对稻田土壤真菌群落结构的影响[J]. 土壤, 2018, **50**(3): 513-521. Yan H, Ouyang M, Zhang X H, *et al.* Effects of different gradients of heavy metal contamination on soil fungi community structure in paddy soils[J]. Soils, 2018, **50**(3): 513-521.

- [17] Zhao C C, Miao Y, Yu C D, et al. Soil microbial community composition and respiration along an experimental precipitation gradient in a semiarid steppe [J]. Scientific Reports, 2016, 6: 24317.
- [18] Elwahed M S A, El-Aziz M E A, Shaaban E A, et al. New trend to use biochar as foliar application for wheat plants (*Triticum Aestivum*) [J]. Journal of Plant Nutrition, 2019, **42**(10): 1180-1191.
- [19] 汪玉瑛, 计海洋, 吕豪豪, 等. 羊栖菜生物炭对镉污染土壤性质及镉形态的影响[J]. 农业环境科学学报, 2018, 37 (6): 1132-1140.
 - Wang Y Y, Ji H Y, Lv H H, et al. Effects of biochar derived from Sargassum fusiforme on the properties and cadmium forms of cadmium-con-taminated soil [J]. Journal of Agro-Environment Science, 2018, 37(6): 1132-1140.
- [20] 黄修梅, 李明, 戎素萍, 等. 生物炭添加对马铃薯根际土壤 真菌多样性和产量的影响[J]. 中国蔬菜, 2019(1): 51-56. Huang X M, Li M, Rong S P, et al. Effects of biochar addition on fungi diversity of potato rhizosphere soil and yield of potato [J]. China Vegetables, 2019(1): 51-56.
- [21] 赵艳婷. 荒漠植物根际细菌对植物抗逆性的影响[D]. 兰州: 兰州大学, 2017.

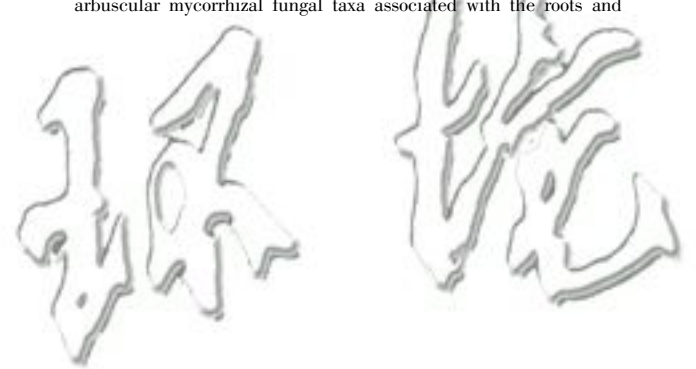
 Zhao Y T. Effect of rhizosphere bacteria on the resistance of plant to stress[D]. Lanzhou: Lanzhou University, 2017.
- [22] Zhang M, Shan S D, Chen Y G, et al. Biochar reduces cadmium accumulation in rice grains in a tungsten mining area-field experiment; effects of biochar type and dosage, rice variety, and pollution level [J]. Environmental Geochemistry and Health, 2019, 41(1): 43-52.
- [23] 王晓彤, 许旭萍, 王维奇. 模拟酸雨对福州平原稻田土壤真 菌群落结构及多样性影响[J]. 环境科学学报, 2019, 39 (7): 2249-2259.
 - Wang X T, Xu X P, Wang W Q. Effects of simulated acid rain on paddy soils fungi community structure and diversity in Fuzhou Plan[J]. Acta Scientiae Circumstantiae, 2019, 39(7): 2249-2259.
- [24] Heng T, Liao R K, Wang Z H, et al. Effects of combined drip irrigation and sub-surface pipe drainage on water and salt transport of saline-alkali soil in Xinjiang, China[J]. Journal of Arid Land, 2018, 10(6): 932-945.
- [25] Ding Z L, Wu J P, You A Q, et al. Effects of heavy metals on soil microbial community structure and diversity in the rice (Oryza sativa L. subsp. Japonica, food crops institute of Jiangsu academy of agricultural sciences) rhizosphere [J]. Soil Science and Plant Nutrition, 2017, 63(1): 75-83.
- [26] 王显. 乌鲁木齐市米东工业区周边农田土壤重金属调查及源解析[D]. 乌鲁木齐:新疆大学, 2018.
 Wang X. Investigation and source apportionment on heavy metal of soils in farmland around Midong industrial park of Urumqi city [D]. Urumqi: Xinjiang University, 2018.
- [27] 张赫琼, 付岩, 左晓霞, 等. 稻田土壤 8 种真菌对 4 种杀菌剂的敏感性分析[J]. 农药学学报, 2014, **16**(5): 529-534. Zhang H Q, Fu Y, Zuo X X, *et al.* Sensitivity of eight fungi in rice paddy soil to four fungicides [J]. Chinese Journal of Pesticide Science, 2014, **16**(5): 529-534.
- [28] Susyan E A, Ananyeva N D, Blagodatskaya E V. The antibioticaided distinguishing of fungal and bacterial substrate-induced respiration in various soil ecosystems [J]. Microbiology, 2005, 74(3): 336-342.
- [29] Liu C P, Yu H Y, Liu C S, et al. Arsenic availability in rice from a mining area; Is amorphous iron oxide-bound arsenic a

- source or sink? [J]. Environmental Pollution, 2015, 199: 95-101.
- [30] 鲁如坤. 土壤农业化学分析方法[M]. 北京: 中国农业科技出版社, 2000.
- [31] Ippolito J A, Berry C M, Strawn D G, et al. Biochars reduce mine land soil bioavailable metals [J]. Journal of Environmental Quality, 2017, 46(2): 411-419.
- [32] 闫家普, 丁效东, 崔良, 等. 不同改良剂及其组合对土壤镉 形态和理化性质的影响[J]. 农业环境科学学报, 2018, **37** (9): 1842-1849. Yan J P, Ding X D, Cui L, *et al.* Effects of several modifiers
 - and their combined application on cadmium forms and physicochemical properties of soil [J]. Journal of Agro-Environment Science, 2018, 37(9): 1842-1849.
- [33] Li J H, Zhang M, Ye Z Y, et al. Effect of manganese oxide-modified biochar addition on methane production and heavy metal speciation during the anaerobic digestion of sewage sludge [J]. Journal of Environmental Sciences, 2019, 76: 267-277.
- [34] Huang L, Liu C, Liu X W, et al. Immobilization of heavy metals in e-waste contaminated soils by combined application of biochar and phosphate fertilizer [J]. Water, Air, & Soil Pollution, 2019, 230: 26.
- [35] 高焕方,曹园城,何炉杰,等. Tessier 法和 BCR 法对比磷酸二氢钠处置含铅污染土壤形态分析[J]. 环境工程学报,2017,11(10):5751-5756.

 Gao H F, Cao Y C, He L J, et al. Speciation analysis of lead-contaminated soil treated with sodium dihydrogen phosphate using Tessier and BCR [J]. Chinese Journal of Environmental Engineering, 2017, 11(10):5751-5756.
- [36] 胡雪芳,田至清,梁亮,等.不同改良剂对铅镉污染农田水稻重金属积累和产量影响的比较分析[J].环境科学,2018,39(7):3409-3417.
 - Hu X F, Tian Z Q, Liang L, et al. Comparative analysis of different soil amendment treatments on rice heavy metal accumulation and yield effect in Pb and Cd contaminated farmland [J]. Environmental Science, 2018, 39 (7): 3409-3417.
- [37] Yu B, Men M X, Liu P J, et al. Leaching effect of organic acids on heavy metal contaminated soil [J]. Agricultural Biotechnology, 2019, 8(1): 130-134, 139.
- [38] Awad N E, Kassem H A, Hamed M A, et al. Isolation and characterization of the bioactive metabolites from the soil derived fungus *Trichoderma viride* [J]. Mycology: An International Journal on Fungal Biology, 2018, 9(1): 70-80.
- [39] Ceci A, Pinzari F, Riccardi C, et al. Metabolic synergies in the biotransformation of organic and metallic toxic compounds by a saprotrophic soil fungus [J]. Applied Microbiology and Biotechnology, 2018, 102(2): 1019-1033.
- [40] Oyewole O A, Zobeashia S S L T, Oladoja E O, et al. Biosorption of heavy metal polluted soil using bacteria and fungi isolated from soil[J]. SN Applied Science, 2019, 1: 857.
- [41] Awasthi M K, Li J, kumar S, et al. Effects of biochar amendment on bacterial and fungal diversity for co-composting of gelatin industry sludge mixed with organic fraction of municipal solid waste [J]. Bioresource Technology, 2017, 246: 214-223.
- [42] 廖洁,王天顺,范业康,等. 镉污染对甘蔗生长、土壤微生物及土壤酶活性的影响[J]. 西南农业学报,2017,30(9):2048-2052.
 - Liao J, Wang T S, Fan Y G, et al. Effects of cadmium contamination on sugarcane growth, soil microorganism and soil enzyme activity [J]. Southwest China Journal of Agricultural

- Sciences, 2017, 30(9): 2048-2052.
- [43] 高林, 张继元, 吴元华, 等. 镉污染对烤烟根际土壤细菌和 真菌群落结构的影响[J]. 土壤通报, 2015, **46**(3): 628-632.
 - Gao L, Zhang J Y, Wu Y H, et al. Effect of cd contamination on soil bacteria and fungi community structure in flue-cured tobacco rhizosphere [J]. Chinese Journal of Soil Science, 2015, 46(3): 628-632.
- [44] 阎海涛,殷全玉,丁松爽,等. 生物炭对褐土理化特性及真菌群落结构的影响[J]. 环境科学,2018,39(5):2412-2419.
 - Yan H T, Yin Q Y, Ding S S, *et al.* Effect of biochar amendment on physicochemical properties and fungal community structures of cinnamon soil [J]. Environmental Science, 2018, **39**(5): 2412-2419.
- [45] 顾美英,徐万里,张志东,等.施用棉秆炭连作棉花根际土壤真菌多样性与土壤理化性质及黄萎病的相关性[J].新疆农业科学,2018,55(9):1698-1709.
 - Gu M Y, Xu W L, Zhang Z D, et al. Relationships between fungi diversity, physicochemical properties and verticillium wilt in continuous cropping cotton rhizosphere soil with cotton stover biochar [J]. Xinjiang Agricultural Sciences, 2018, 55 (9): 1698-1709.
- [46] Ellouze W, Hamel C, Sinqh A K, et al. Abundance of the arbuscular mycorrhizal fungal taxa associated with the roots and

- rhizosphere soil of different durum wheat cultivars in the Canadian prairies [J]. Canadian Journal of Microbiology, 2018, **64**(8): 527-536
- [47] 丁建莉,姜昕,马鸣超,等. 长期有机无机肥配施对东北黑 土真菌群落结构的影响[J]. 植物营养与肥料学报,2017, **23**(4):914-923.
 - Ding J L, Jiang X, Ma M C, *et al.* Structure of soil fungal communities under long-term inorganic and organic fertilization in black soil of Northeast China[J]. Journal of Plant Nutrition and Fertilizer, 2017, **23**(4): 914-923.
- [48] Liu J, Zhang X F, Kennedy J F, et al. Chitosan induces resistance to tuber rot in stored potato caused by Alternaria tenuissima [J]. International Journal of Biological Macromolecules, 2019, 140: 851-857.
- [49] Olsen Y, Begovic T, Skjøth C A, et al. Grain harvesting as a local source of Cladosporium spp. in denmark[J]. Aerobiologia, 2019, 35(2): 373-378.
- [50] Pena G A, Cavaglieri L R, Chulze S N. Fusarium species and moniliformin occurrence in sorghum grains used as ingredient for animal feed in Argentina [J]. Journal of the Science of Food and Agriculture, 2019, 99(1): 47-54.
- [51] Jenkins J R, Viger M, Arnold E C, et al. Biochar alters the soil microbiome and soil function: results of next-generation amplicon sequencing across Europe[J]. Global Change Biology Bioenergy, 2017, 9(3): 591-612.



HUANJING KEXUE

Environmental Science (monthly)

Vol. 41 No. 8 Aug. 15, 2020

CONTENTS

Comparison Analysis of the Effect of Emission Reduction Measures for Major Events and Heavy Air Pollution in the Capital ZH	
$ \label{thm:continuous} Evaluation of Different ISORROPIA-II Modes and the Influencing Factors of Aerosol pH Based on Tianjin Online Data \\ \mbox{$	
Emission Characteristics of Particulate Organic Matter from Cooking	LI Yuan-ju, WU Ai-hua, TONG Meng-xue, et al. (3467)
Characteristics and Sources of 12 Trace Amount Elements in PM _{2.5} During a Period of Heavy Pollution in Huanggang, Central China	
Aerosol Optical Properties over the Ebinur Region	ZHANG Zhe, DING Jian-li, WANG Jin-jie (3484)
Characteristics of Secondary Organic Particles and the Potential Formation of SOA from VOCs During Wintertime Heavy Pollution Episo	des in Tianjin · · · · · · · · · · · · · · · · · · ·
	······· XU Hong, TANG Miao, XIAO Zhi-mei, et al. (3492)
Characteristics and Source Apportionment of VOCs at Different Pollution Levels During the Winter in an Urban Area in Zhengzhou	
Emission Inventory of Intermediate Volatility Organic Compounds (IVOCs) from Biomass Burning in the Yangtze River Delta During 20	10-2018 · · · · · · · · · · · · · · · · · · ·
	···· ZHU Yong-hui, WANG Qian, HUANG Ling, et al. (3511)
Emission Characteristics of Biogenic Volatile Compounds (BVOCs) from Common Greening Tree Species in Northern China and Their	Correlations with Photosynthetic Parameters
	·· XU Yan, LI Shuang-jiang, YUAN Xiang-yang, et al. (3518)
Characteristics of Surface Ozone and Impact Factors at Different Station Types During the Autumn in Guangzhou	
Pollution Characteristics and Sensitivity Analysis of Atmospheric Ozone in Taian City	LI Kai, LIU Min, MEI Ru-bo (3539)
Pollution Characteristics and Health Risk Assessment of Heavy Metals in Road Dust from Non-ferrous Smelting Parks	FENG Yu-yao, SHI Jian-wu, ZHONG Yao-qian, et al. (3547)
Pollution and Source Analysis of Heavy Metal in Surface Dust from Xi'an University Campuses	
Monitoring Method of Total Particulate Matter in Ultra-low-emission and High-humidity Exhaust Gas from Stationary Sources and an Act	
Vessels' Air Pollutant Emissions Inventory and Emission Characteristics in the Xiamen Emission Control Area	
Method for High-resolution Emission Inventory for Road Vehicles in Chengdu Based on Traffic Flow Monitoring Data	· · · · · · · · · · · · · · · · · · ·
Inversion of Water Quality Parameters Based on UAV Multispectral Images and the OPT-MPP Algorithm	
Effects of Different Water Stratification on the Vertical Distribution of Nitrogen in Sediment Interstitial Waters: A Case Study of the Th	
	····· III ling-si ZHI Xiao-sheng HI Zi-long et al. (3601)
Pollution Status and Pollution Behavior of Microplastic in Surface Water and Sediment of Urban Rivers	
Spatial and Temporal Variation of Phytoplankton Community Structure and Its Influencing Factors in Shanghai River Channels	
Restoration of River Sediment by Calcium Peroxide (CaO ₂) Combined with Biochar	
Quantification of Nitrate Sources to Groundwater in Karst Trough-valley Areas Based on Dual Stable Isotopes of δ^{15} N-NO ₃ ⁻ and δ^{18} O-N	
Quantification of Nitrate Sources to Groundwater in Karst Trough-variety Areas based on Dutai Stable Isotopes of 6 18-1803 and 6 0-18	O ₃ and the isosource model
Dynamic Process of Nitrogen and Phosphorus Export and Loss Load in an Intensive Orchard with Ridge and Furrow Plantation in the Th	
Dynamic rrocess of Autogen and Fhosphorus Export and Loss Load in an intensive Orchard with Rudge and Furrow Frantation in the 1n	WANG Volume LILLOW And (2646)
Analysis of Rainfall Runoff Pollution and Pollution Load Estimation for Urban Communities in a Highly Urbanized Region	
Adsorption of As(III) in Water by Iron-loaded Graphene Oxide-Chitosan	
Adsorption of As(iii) in water by Iron-toaded Graphene Oxide-Unitosan Z. Sorption Behaviors of Copper Ions and Tetracycline on Microplastics in Aqueous Solution XU.	
Sorption benaviors of Copper ions and Tetracycline on Micropiastics in Aqueous Solution AU Effect of Porous Fillers Properties on Biofilm Growth	
Adaptability of Nitrifying Biofilm Systems to Low Temperature: MBBR and IFAS	
Improved on Nitrogen Removal of Anaerobic Ammonia Oxidation by Coupling Element Sulfur-based Autotrophic Short-cut Denitrification	
Nitrogen and Phosphorus Removal from Domestic Sewage Aerobic Granular Sludge Under Intermittent Gradient Aeration	
Rapid Start-up and Stability of Partial Denitrification Based on Different Waste Sludge Sources ZH.	
Decision-making Analysis of Excess Sludge Pretreatment for Struvite Recovery Based on AHP-PROMETHEE II Method	
Effect on Ammonia Inhibition Mitigation in the Anaerobic Digestion Process with Zero-Valent Iron	
Performance of Anaerobic Membrane Bioreactors for the Co-digestion of Sewage Sludge and Food Waste	
Antibiotics Induce Horizontal Gene Transfer of Resistance at Sublethal Concentrations	
Impact of Tetracycline Antibiotic on the Transcriptional Expression of Tetracycline Resistance Genes in Shigella flexneri	
Competitive Selection of Hydroxylamine on Ammonia Oxidizing Bacteria and Nitrite Oxidizing Bacteria	
Analysis of the Effect of Temperature on the Microbial Flora Structure During the Nitrite Oxidation Process Using 16S rRNA High-through	ghput Sequencing
Universality and Potential Application of Mn(II) Oxidation Triggered by Microbial Interspecies Interactions	
Distribution and Potential Nitrification Rates of Aerobic Ammonia-Oxidizing Microorganisms in Surface Sediments of Mangrove in Sanya	River
Effects of Ozone Pollution on Growth, Yields, and Mineral Metallic Element Contents of Paddy Rice	
Short Term Effects of a Changing Carbon Input on the Soil Respiration of Picea schrenkiana Forests in the Tianshan Mountains, Xinjian	9
Effects of the Combined Application of Organic and Inorganic fertilizers on N ₂ O Emissions from Saline Soil	
Mechanism and Influencing Factors of Increasing Soil Temperature by in-situ Electrical Resistance Heating	
Acid Mine Wasteland Reclamation by Juncus ochraceus Buchen as a Potential Pioneer Plant	·· HUANG Jian-hong, FU Jiang-li, YAN Xin-rui, et al. (3829)
Effects of Drip Irrigation Patterns and Biochar Addition on Soil Mineral Nitrogen and Microbial Regulation of Greenhouse	
Effects of Cotton Stalk Biochar on the Structure and Function of Fungi Community in Alkaline Rhizosphere Soil of Rice Under Cadmium	Pollution ····
	· LIU Shi-dou, HAN Yao-guang, ZHU Xin-ping, et al. (3846)
$Effects \ of \ Different \ Treatments \ with \ Water \ Management \ Combined \ with \ Leaf \ Spraying \ Silicon \ Fertilizer \ on \ Cd \ Accumulation \ in \ Rice \cdots$	WEI Bin-yun, ZHOU Hang, LIU Jia-wei, et al. (3855)
Effects of Chelate GLDA on the Remediation of Cadmium Contaminated Farmland by Pennisetum purpureum Schum	QIN Jian-jun, TANG Sheng-shuang, JIANG Kai, $\it et~al.~(3862)$
Situation Analysis and Trend Prediction of the Prevention and Control Technologies for Planting Non-Point Source Pollution	· YU Ying-liang, YANG Lin-zhang, LI Hong-na, et al. (3870)